

# Построение СРМ гамильтониана для описания скольжения клеток иммунной системы по фибронектиновым волокнам

Иван Азаров, Борис Азаров, Кирилл Песков, Юрий Косинский



#### 1 ноября 2022

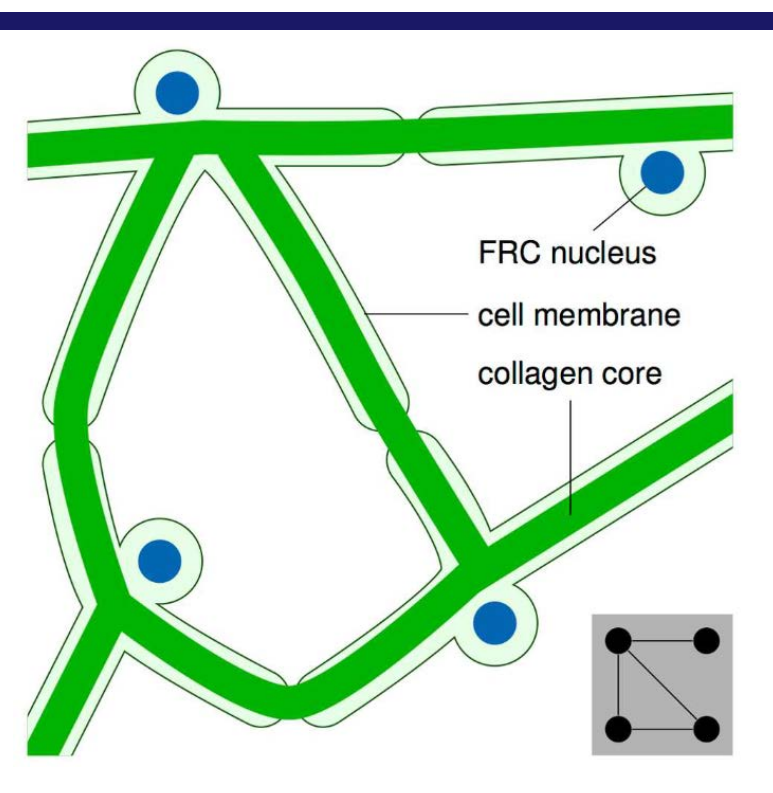
XIV конференция «Математические модели и численные методы в биологии и медицине» – 2022

# Введение





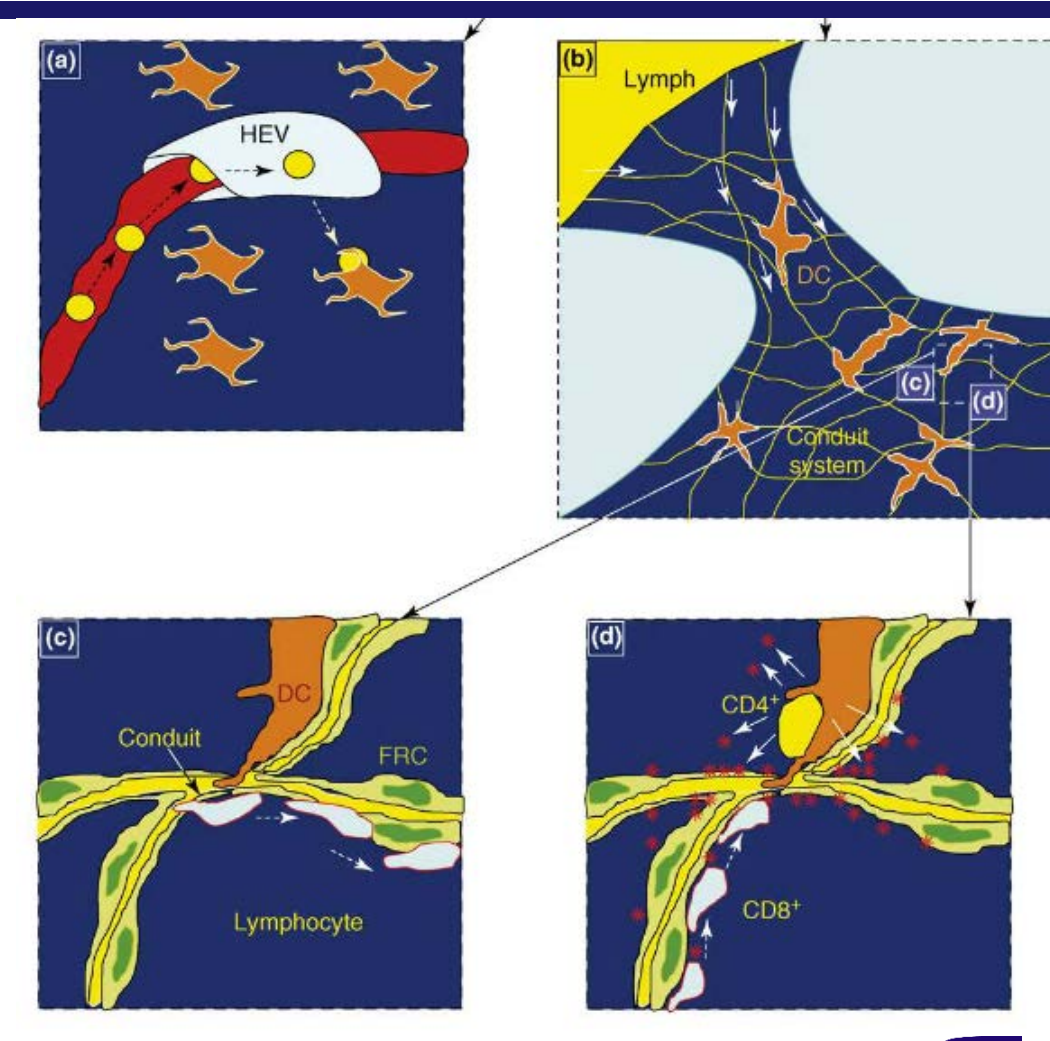
## FRC сеть – "дорожная система" для Т клеток



Textor J, et al. (2016). PLoS Biol 14(10)

Внутренняя часть FRC сети подводит антиген к резидентным ДК

Внешняя часть FRC сети поддерживает и управляет <sup>3</sup> подвижностью лимфоцитов



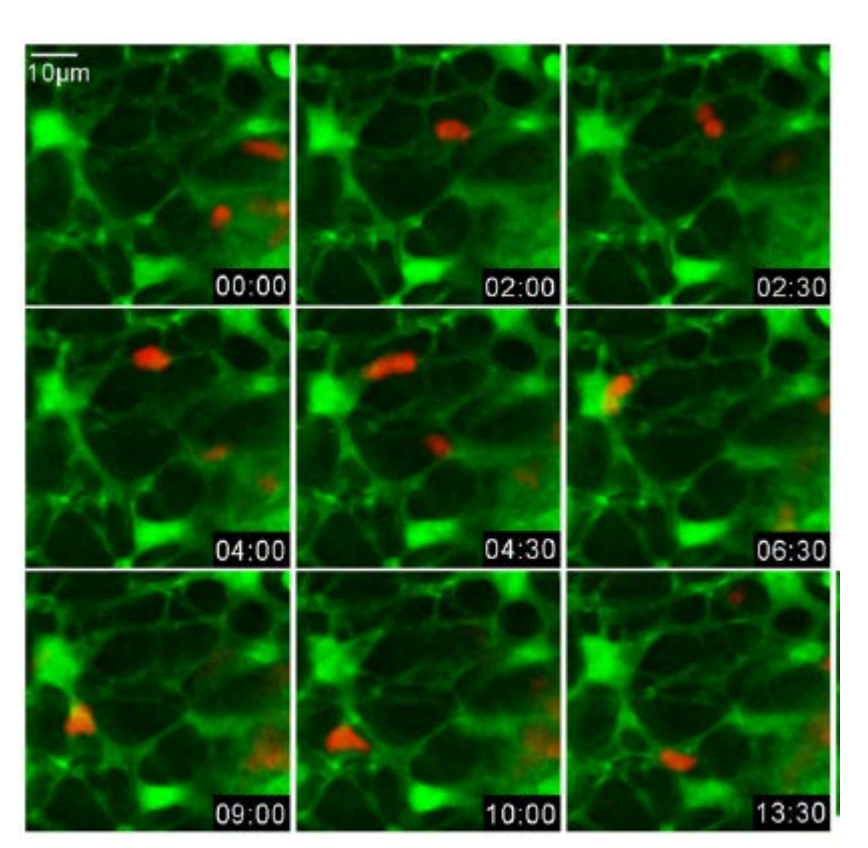
Bajenoff M et al. Trends Immunol. 2007; 28: 346–352.





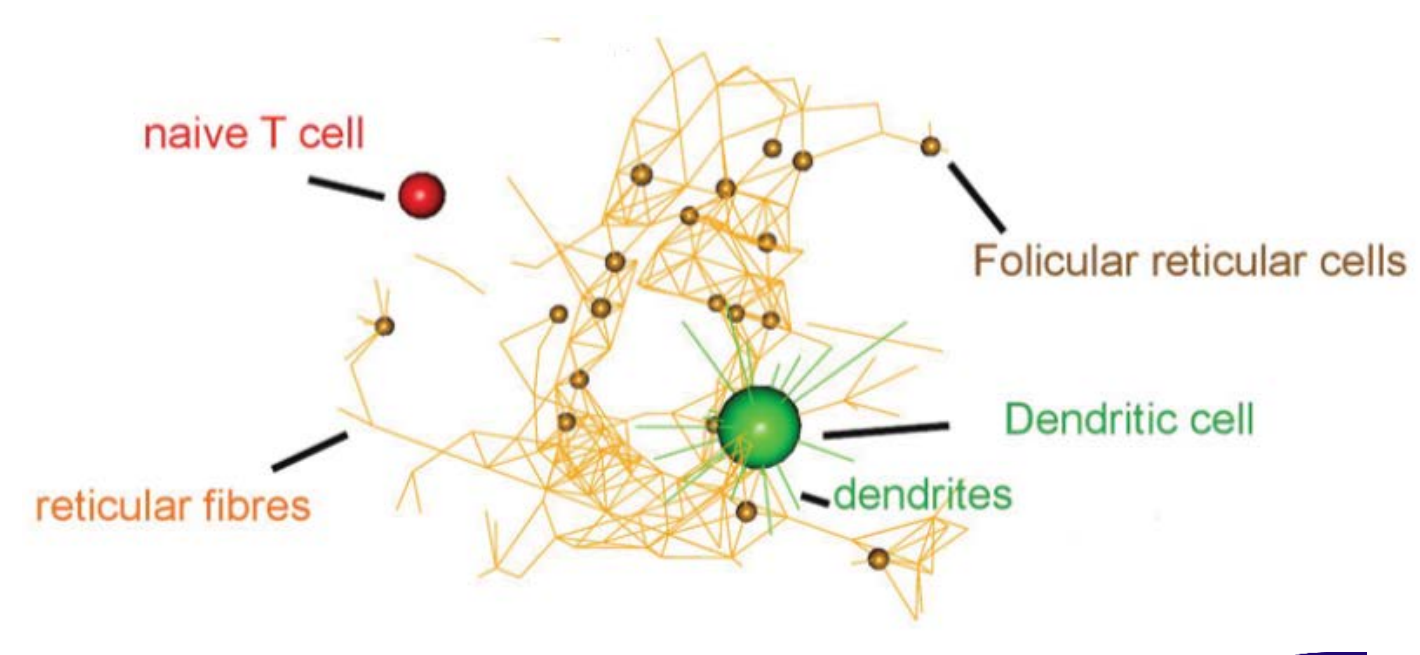
# FRC сеть может влиять на процессы активации иммунных клеток

# Сочетание случайного и направленного типов движения



Bajénoff, M (2006). Immunity, 25(6), 989-1001.

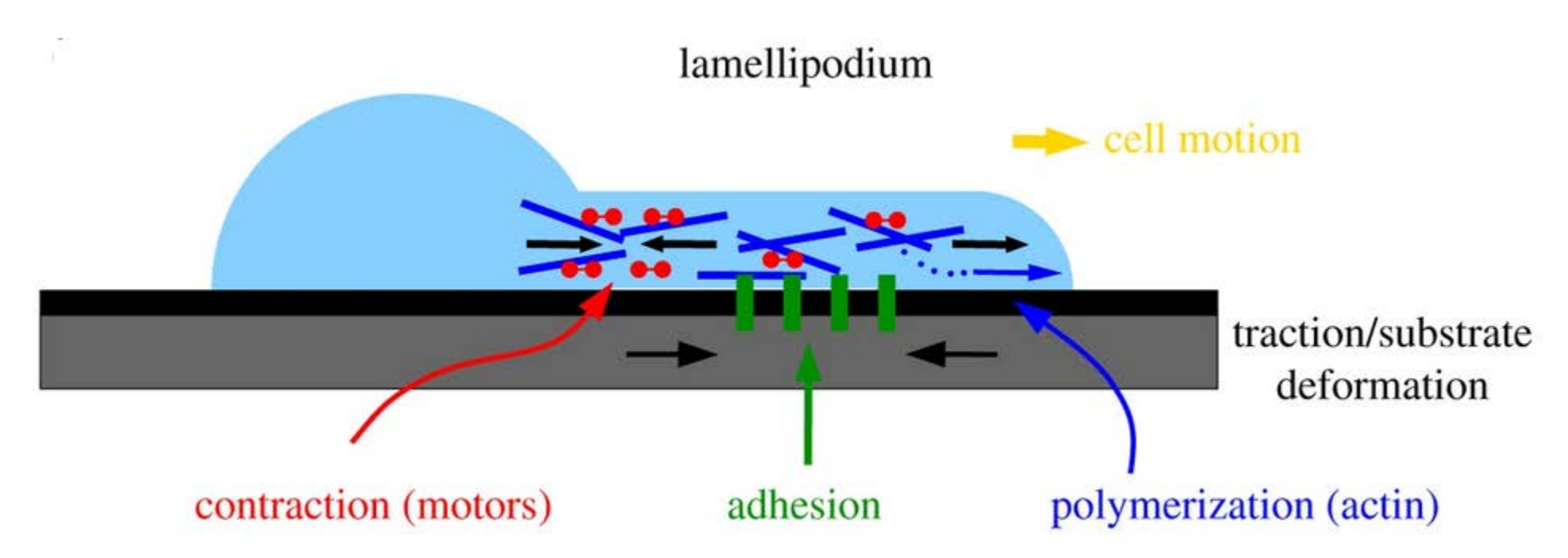
Попытки описания движения клеток по фибронектиновой сети *in silico* 



Graw, F., & Regoes, R. R. (2012). PLoS computational biology, 8(3), e1002436

#### Задача данной работы

- Попытаться воспроизвести характерное "скользящее" движение лимфоцитов по линейным структурам ретикулярных волокн
- Следует *имитировать* характерные внешние детали движения клеток, внутренние процессы учитывать необязательно
- Предусмотреть возможности движения, как стохастического, так и направленного

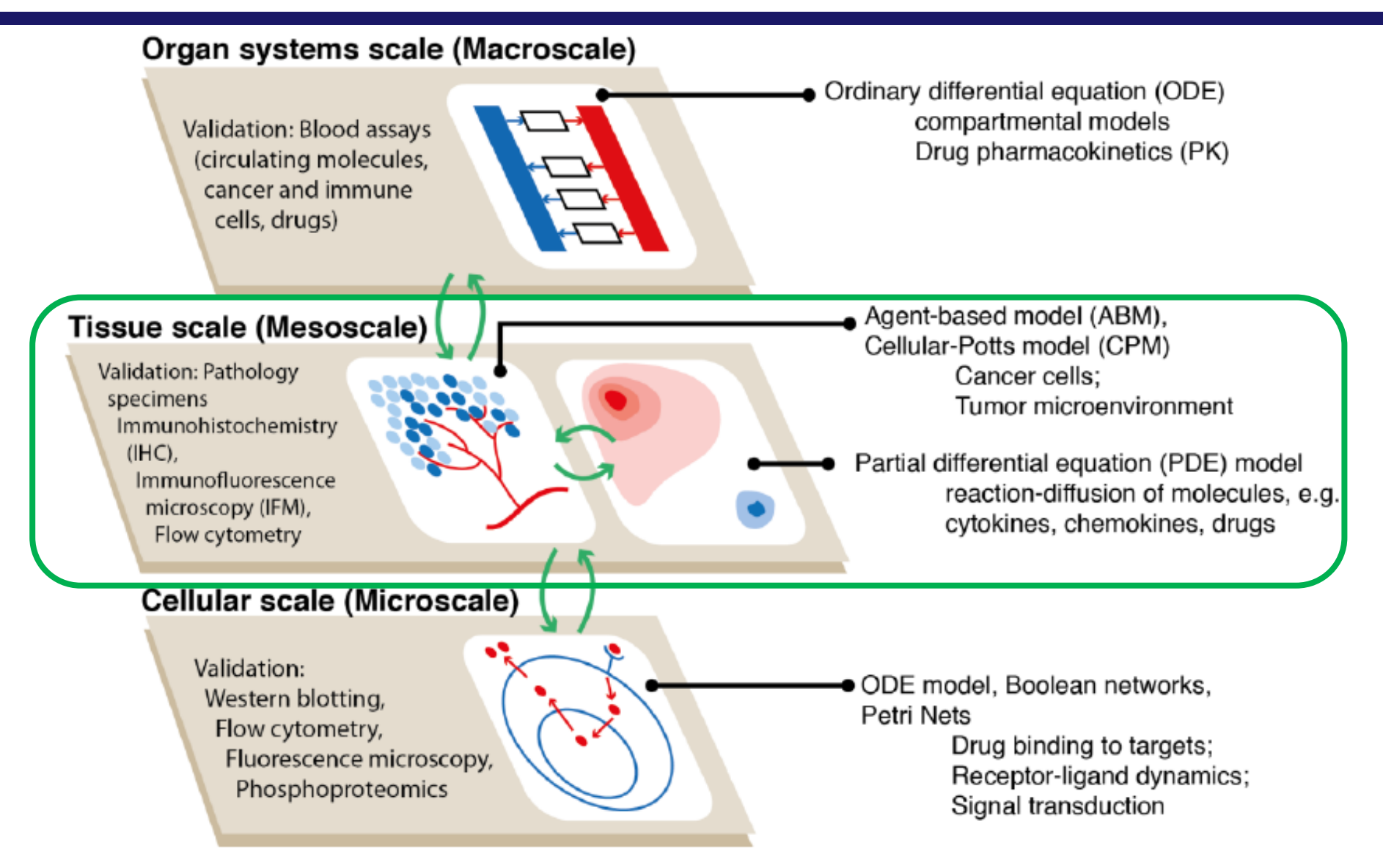




# Методы



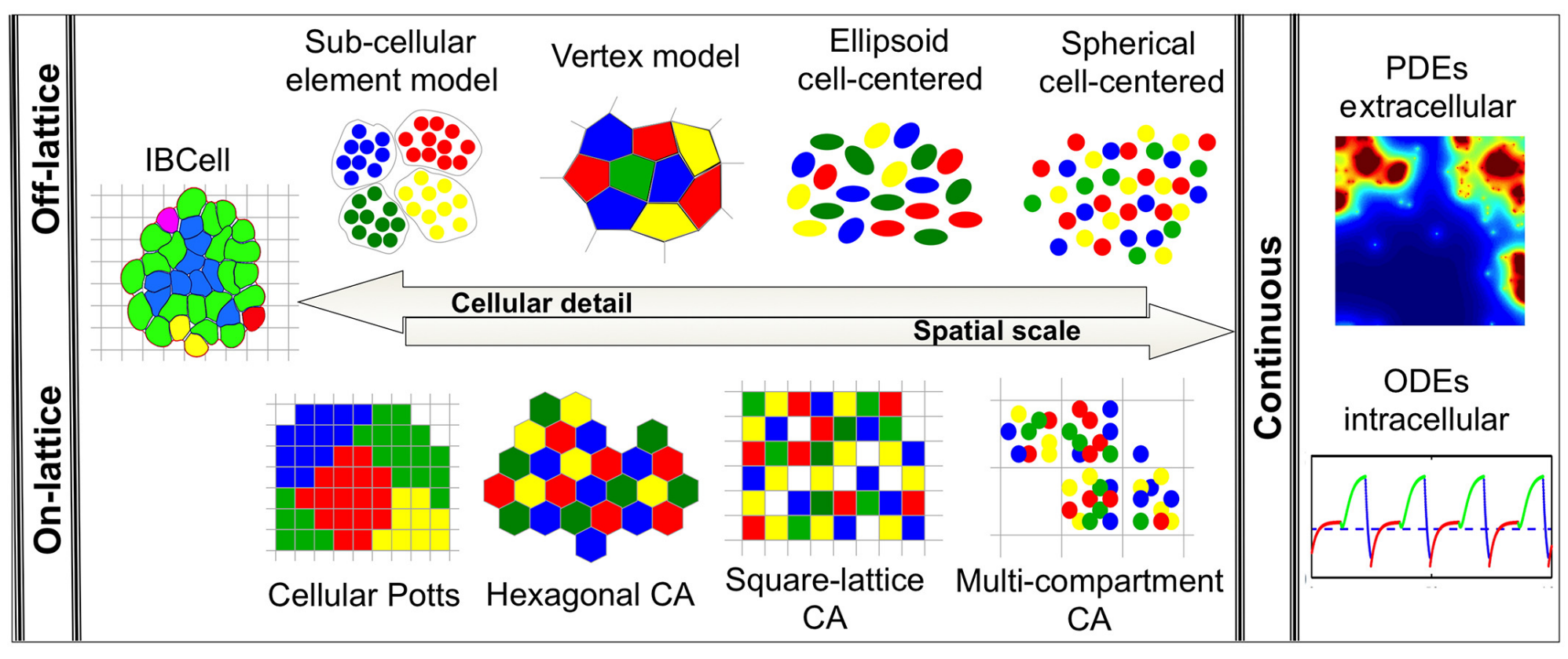
#### Разные уровни моделирования



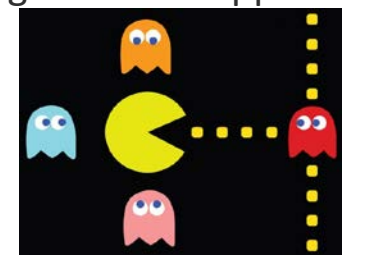




#### Какие существуют подходы?



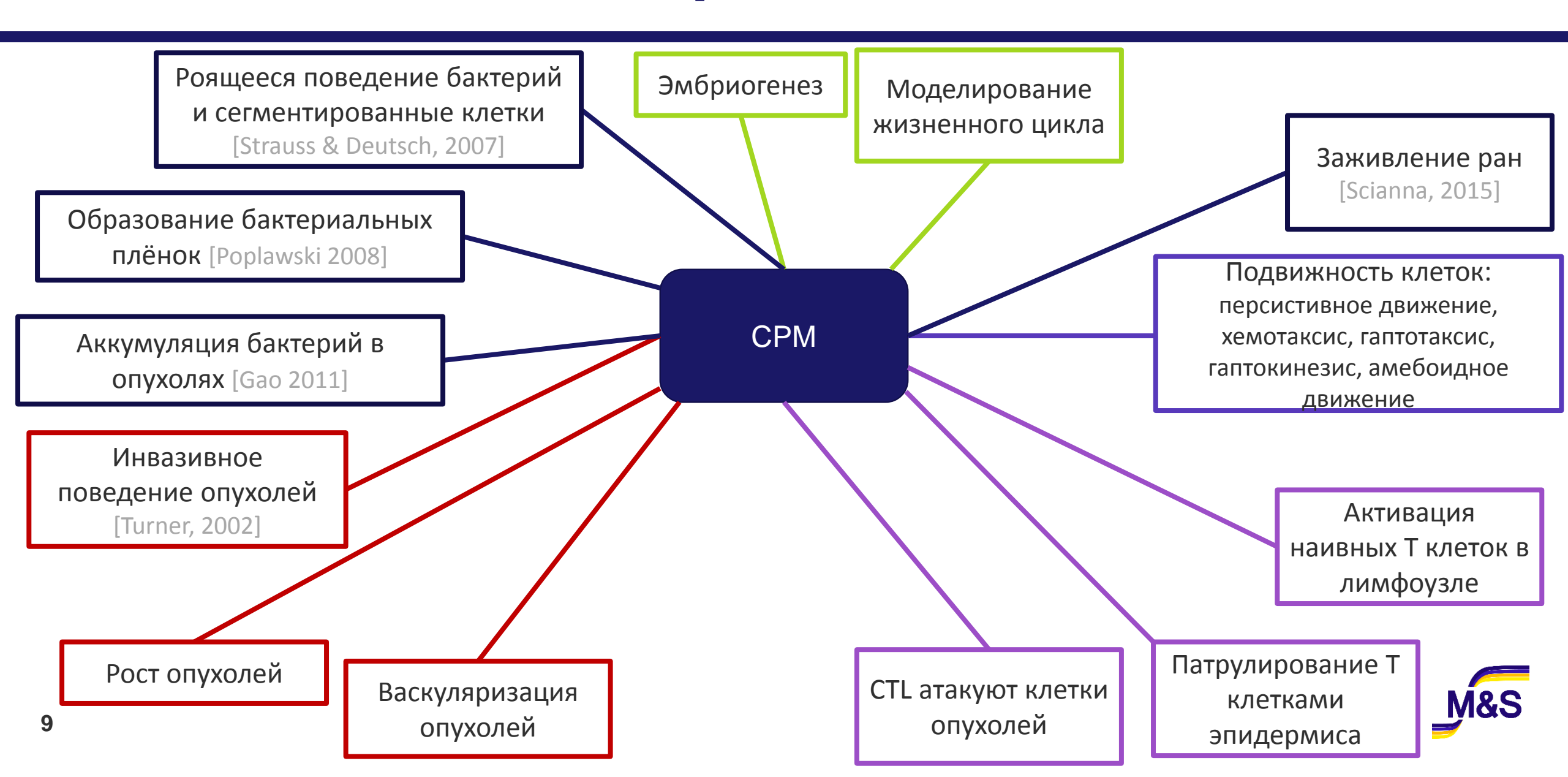
Agent-based approach







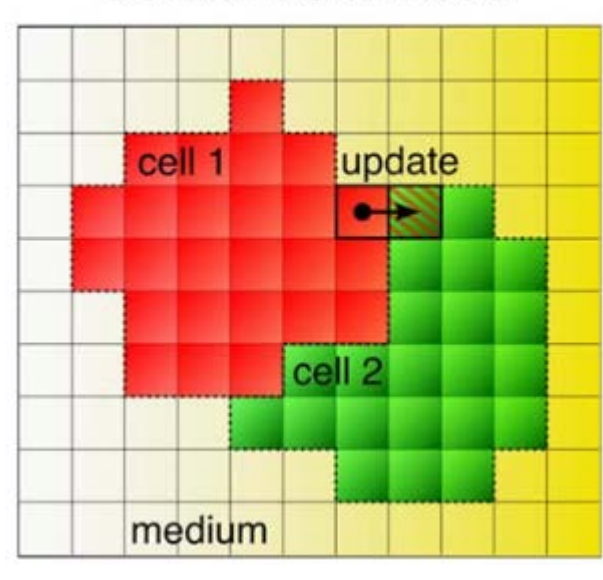
#### Области применения СРМ





# СРМ – решёточные модели с нелокальной энергией конфигурации

#### Cellular Potts model



1. Много клеток одного типа, нет движения:

$$\mathcal{H}_{Potts} = \sum_{(i,j)(i',j')} \left(1 - \delta_{\sigma(i,j)\sigma(i',j')}\right)$$

2. Разные типы клеток:

$$\mathcal{H}_{\tau} = \sum_{(i,j)(i',j')} J[\tau(\sigma),\tau(\sigma')] \cdot \left(1 - \delta_{\sigma(i,j)\sigma(i',j')}\right)$$

3. Учёт размера клеток:

$$\mathcal{H}_{Modified} = \mathcal{H}_{\tau} + \lambda \cdot \sum_{\sigma} \left[ a(\sigma) - A_{\tau(\sigma)} \right]^{2} \cdot \theta \left( A_{\tau(\sigma)} \right)$$

4. Движение по градиенту:

$$\Delta \mathcal{H}' = \Delta \mathcal{H} - \mu(c_{automaton} - c_{neighbor})$$



#### Эволюция системы во времени

На каждом временном шаге происходит:

- 1) Выбор случайного сайта-кандидата (i, j) со спином  $\sigma$
- 2) Выбор случайного нового значения спина σ' из Q возможных значений
- 2b) Выбор случайного нового значения спина σ' причём σ' выбирается среди значений соседей
- 3) Расчёт энергии системы  ${\mathcal H}$  в новой конфигурации
- 4) Смена спина  $\sigma(i, j)$  на  $\sigma'$ :
  - Вероятность перехода при T > 0:

$$p(\sigma o \sigma') = egin{cases} e^{-rac{\Delta \mathcal{H}}{kT}}, ext{ecли } \Delta \mathcal{H} > 0 \ 1, & ext{ecли } \Delta \mathcal{H} \leq 0 \end{cases}$$

• Вероятность перехода при T = 0:

$$p(\sigma o \sigma') = egin{cases} 0, & ext{если } \Delta \mathcal{H} > 0 \ 0.5, & ext{если } \Delta \mathcal{H} = 0 \ 1, & ext{если } \Delta \mathcal{H} < 0 \end{cases}$$

5) Увеличение числа сделанных попыток и возврат к шагу №1.

Модифицированный алгоритм Метрополиса /

$$\Delta \mathcal{H} = \mathcal{H}_{after} - \mathcal{H}_{before}$$

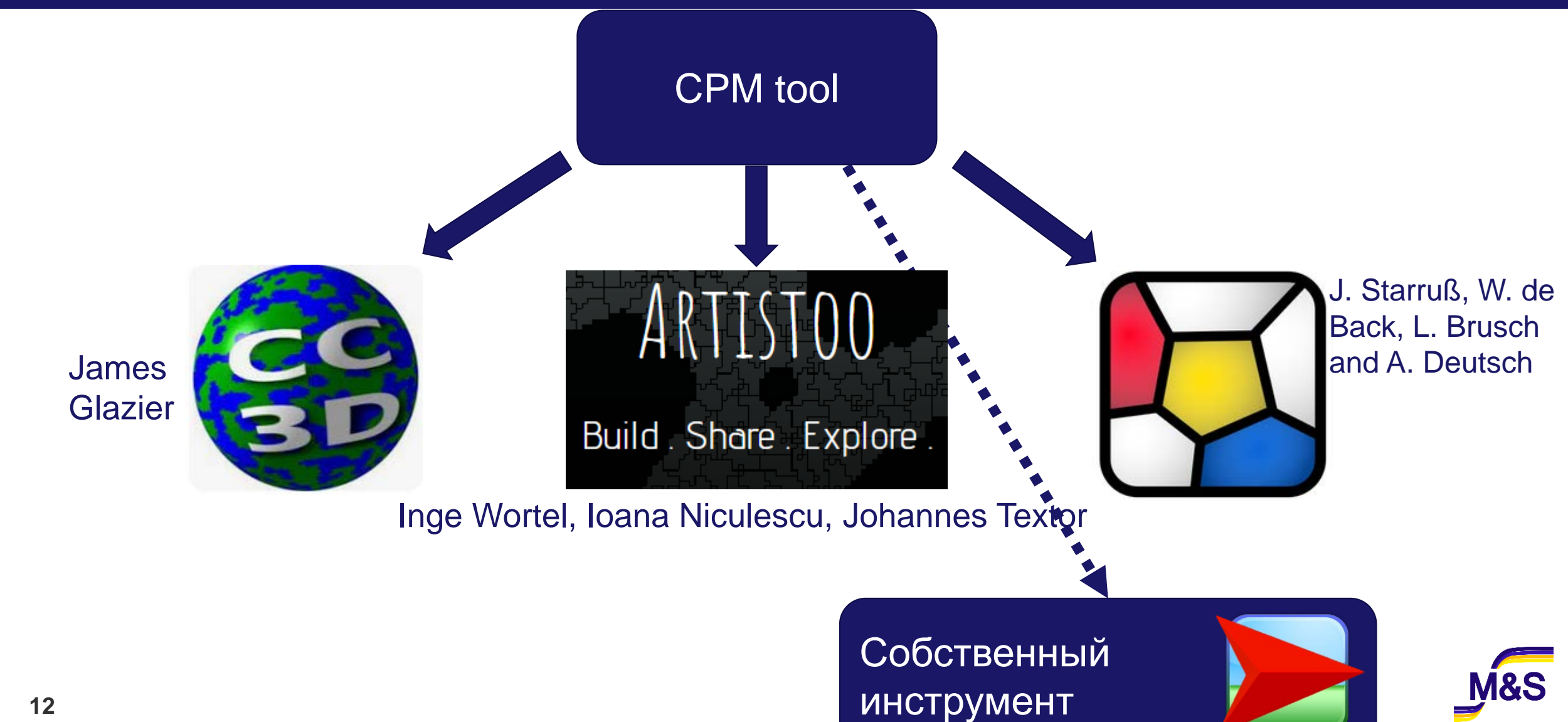
#### Направление:

Принцип наименьшей энергии





#### Чем проводить расчёты?





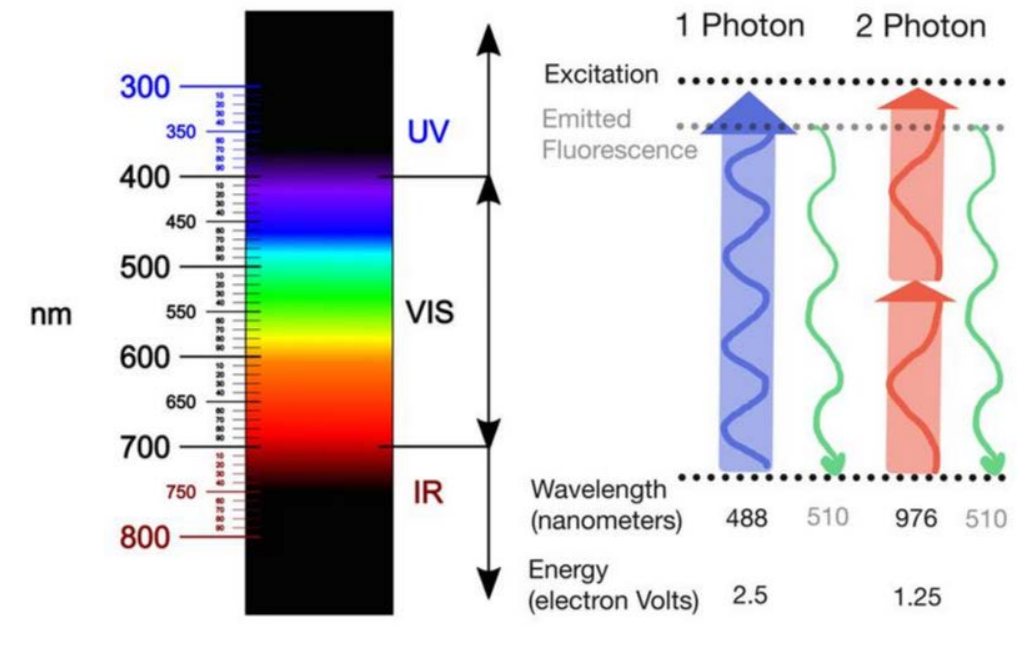


#### Недостаток модели

Phototoxicity	Photobleaching	Scattering	Secondary Fluorescence
W BX	} }	Particle	To the second se

- □ Несмотря на все ухищрения картинка, получаемая с помощью двух-фотонной микроскопии остаётся двухмерной. Двумерный скан не улавливает фибронектиновую сеть целиком!
- □ Двухмерная СРМ модель будет имитировать поведение из двух-фотонных экспериментов.
- □ В итоге, в рамках 2-мерной модели бессмысленно описывать скольжение клеток по FRC сети!

#### 2-фотонная микроскопия:





#### Результаты: построение гамильтониана



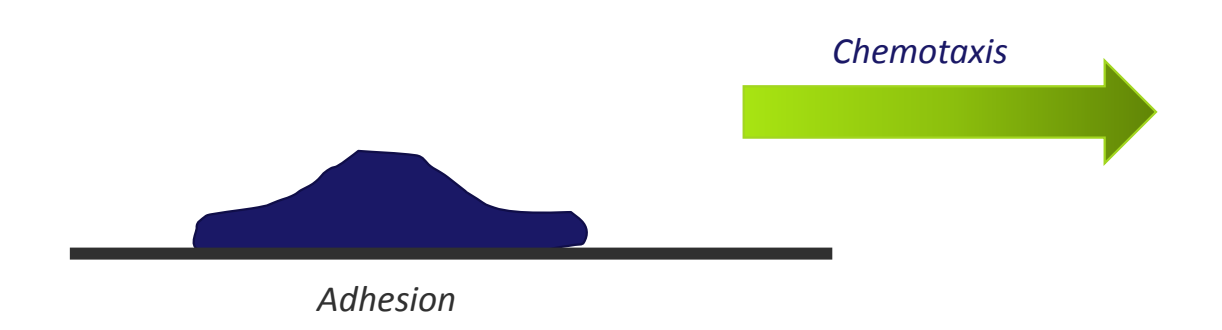
#### Гипотеза №1

Поправка к гамильтониану, делающая движение по градиенту более выгодным:

$$\Delta \mathcal{H}' = \Delta \mathcal{H} - \mu(c_{automaton} - c_{neighbor})$$

Копирование идёт из neighbor в automaton!

Двигаться лимфоцит заставляет пространственный градиент, а ретикулярная сеть – лишь рельсы с прилипанием к ним:





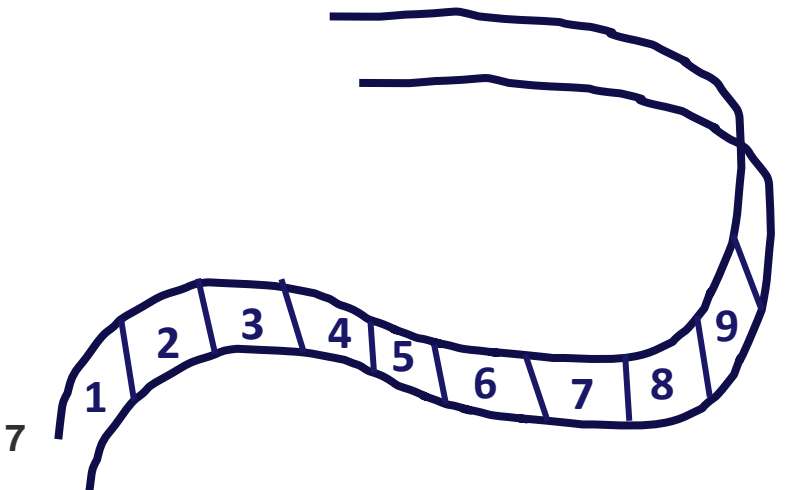
#### Выводы на основе гипотезы №1

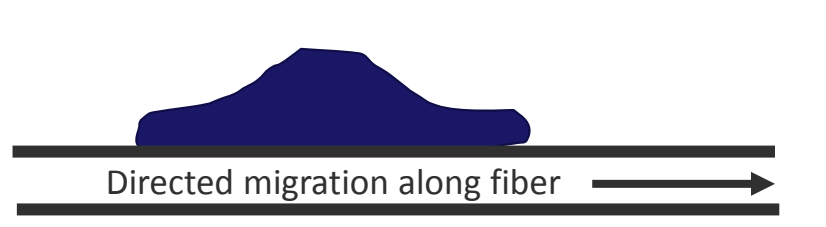
- 1. В ряде случаев действительно можно использовать уже известное слагаемое хемотаксиса по распределению хемокина в объёме и ретикулярную сеть в качестве дорожной сети.
- 2. С точки зрения алгоритмов решение это не универсальное. Если велика составляющая, нормальная к "рельсам", то она может срывать лимфоциты с сети или тормозить их.
- 3. Судя по всему, вывод имеет и биологический смысл: невозможно описывать известные типы движения по FRC сети с помощью объёмного градиента хемокинов.



#### Гипотеза №2. Проблема нумерации.

- Использовать то же самое выражение для нового гамильтониана, но использовать градиент вдоль длины конкретного волокна сети.
- Изменение переменной должно подсказывать предпочтительное направление движение по FRC cemu.
- Но возникает проблема, как желаемым образом пронумеровать хотя бы одномерное волокно нетривиальной формы? (Например, как график немонотонной ф-ции)
- На данный момент решение (не связанное с координатами пикселя) не найдено







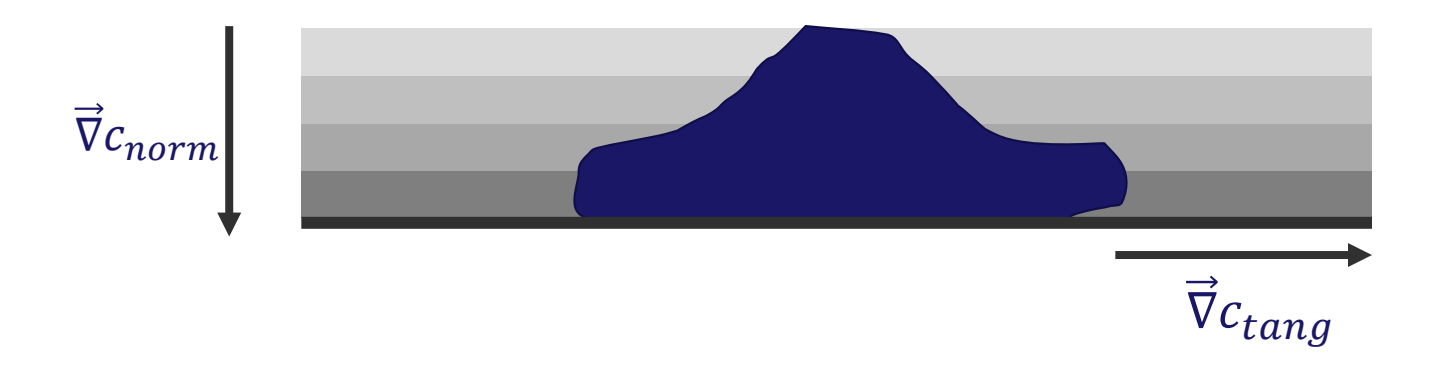
#### Выводы на основе гипотезы №2

- 1. Алгоритм не работает, даже для простых случаев с проведённой нумерацией пикселей FRC сети
- 2. С точки зрения алгоритма, новый гамильтониан действует только на пиксели лимфоцита, прилегающие к волокну сети. Остальные писксели Т клетки "не чувствуют" линейного градиента вдоль волокна.
- 3. С биологической точки зрения, градиент хемокинов должен быть пространственным, но локализован вдоль волокна, то есть либо диффундировать с поверхности волокна, либо крепиться к системе разветвлённой системе филаментов



#### Гипотеза №3

- Участки волокна испускают молекулы хемокина в пространство пропорционально их поверхностной концентрации.
- □ Создаётся хемотаксис вдоль волокна и по направлению к FRC волокну.



Численный вывод: гипотеза №3 приводит к некорректному поведению лимфоцита – расплющиванию и растягиванию клетки.
Причина нормальный градиент >> продольного, и Т-клетка вдавливается в волокно и тормозит.



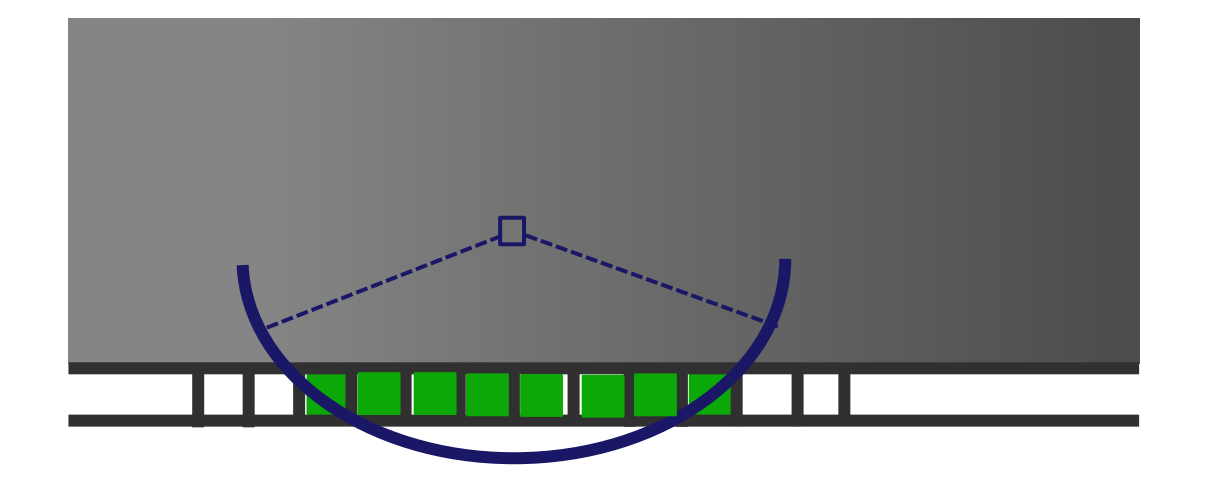


#### Гипотеза №4

□ Создать полосу концентраций вдоль фибронектинового волокна, изменяющуюся только вдоль её длины



□ Способ задания: среднюю концентрацию по всем пикселям волокна в окрестности заранее определённого радиуса (от данного пикселя)





#### Гипотеза №4: демонстрация работы





#### Выводы

□ Были предложены: поправка к гамильтониану и вычислительно лёгкий феноменологический алгоритм, эффективным образом воспроизводящий движение клеток иммунной системы по фибронектиновым волокнам.
 □ Модель была имплементирована в СРМ подход так, что её можно использовать в расчётах с большим числом клеток.

- > Пространственный градиент хемокинов не подходит для решения задачи
- Линейно распределяемая переменная не решает задачу в рамках СРМ

☐ СРМ подход был впервые реализован в рамках **NetLogo**.

- > Продукции хемокинов волокнами FRC и их диффузии недостаточно для решения задачи
- **Не найден** универсальный алгоритм нумерации пикселей ретикулярной сети



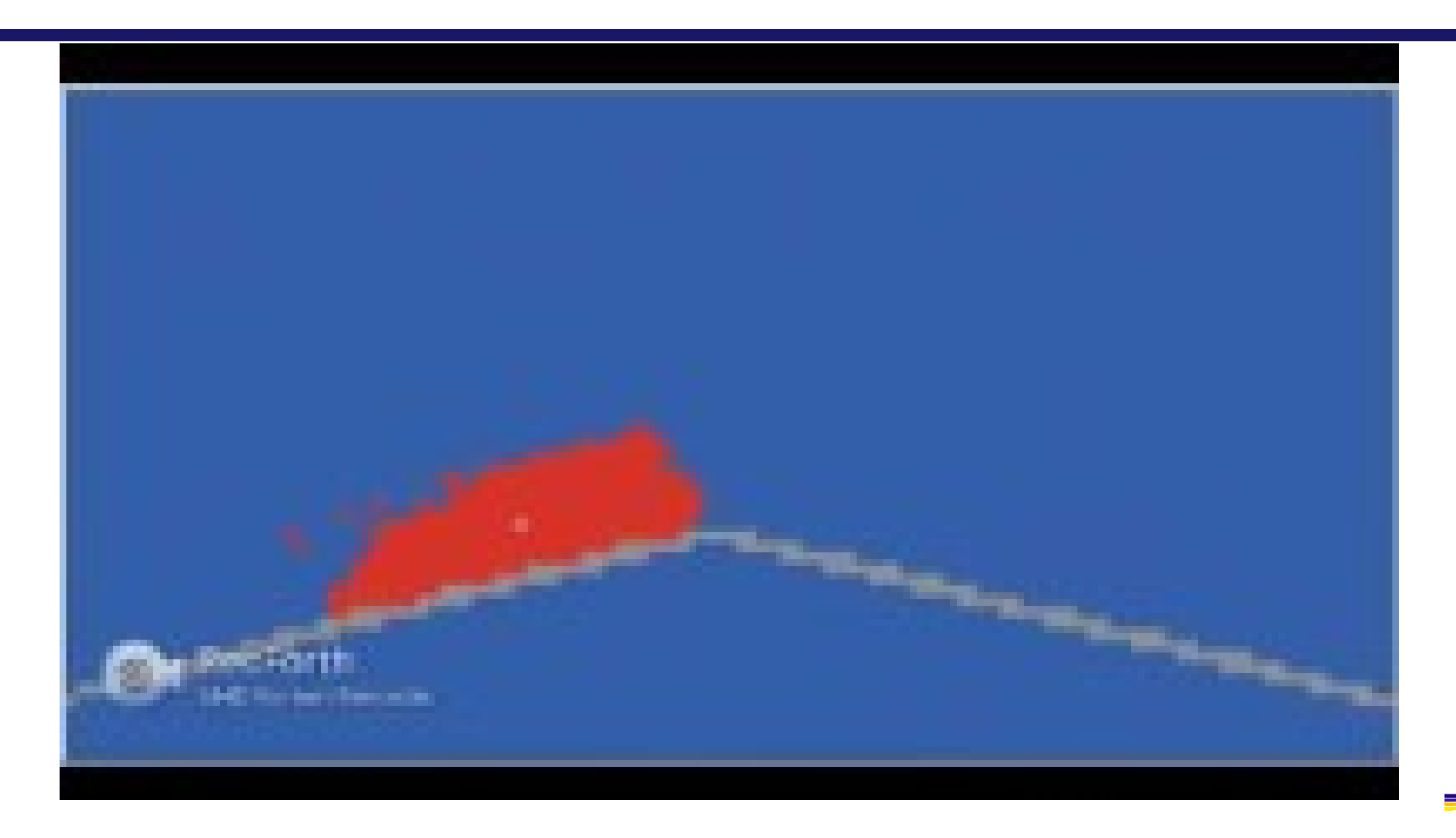
#### Спасибо за внимание!



# Back-Up



## Гипотеза №4: демонстрация работы





#### Ограничения подхода

- Закрепление, фиксация границ при контакте dark cells со средой из-за того, что J(d,M)>T .
- Клеточная мембрана не существует сама по себе только как граница множества сайтов с одинаковым спином, то есть нет ни цитоскелета, ни эластичности, лишь поверхностная энергия.
- При ненулевых температурах может существовать (формально) множество идентичных клеток, то есть одной живой клетки из большого числа несвязанных фрагментов (поэтому необходимо проведение низкотемпературного отжига).
- Невозможно органично создавать поляризованные клетки и моделировать движение за счёт цитоскелета с использованием только минимизации гамильтониана (до 2015 года).
- Симуляции базовой модели не воспроизводят смерти, уничтожения клеток из-за ограничений на сохранение числа и площади клеток (только при высоких Т и слабых ограничениях на объём). Деление клеток невозможно моделировать до сих пор!



#### «Платон мне друг, но истина дороже»

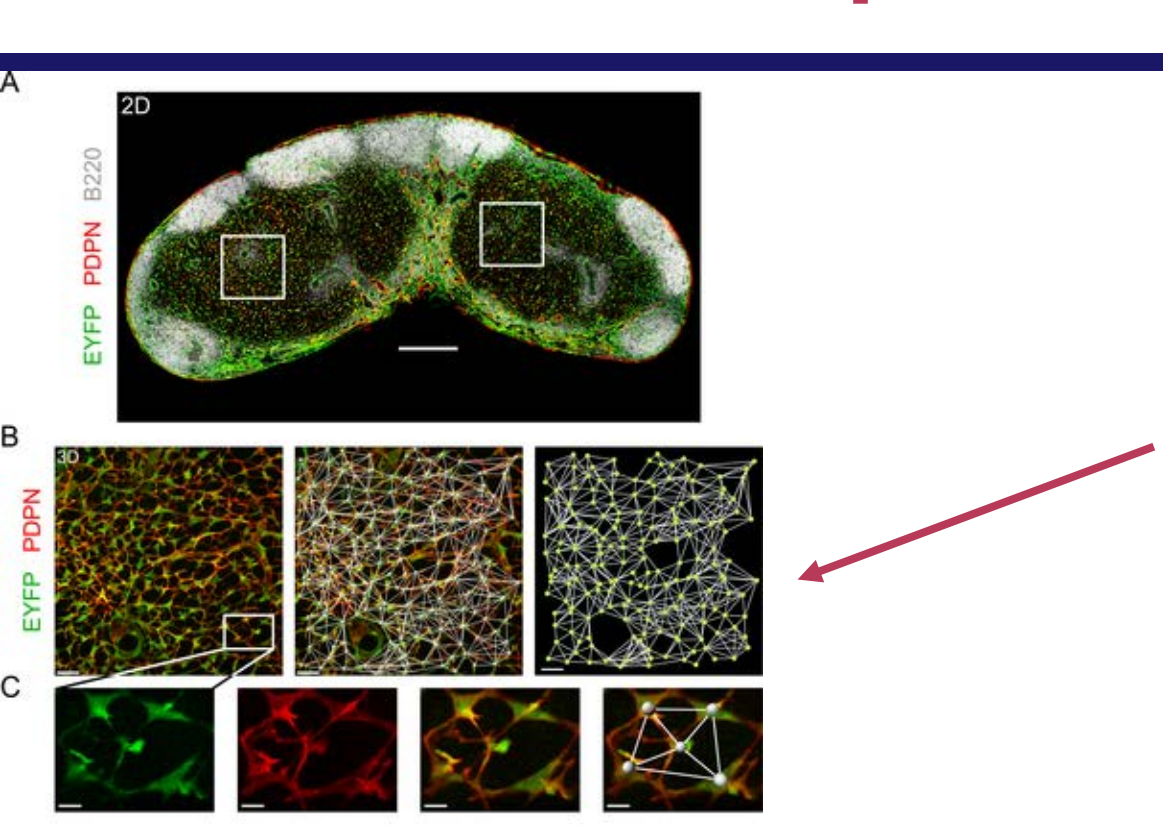
#### Достоинства

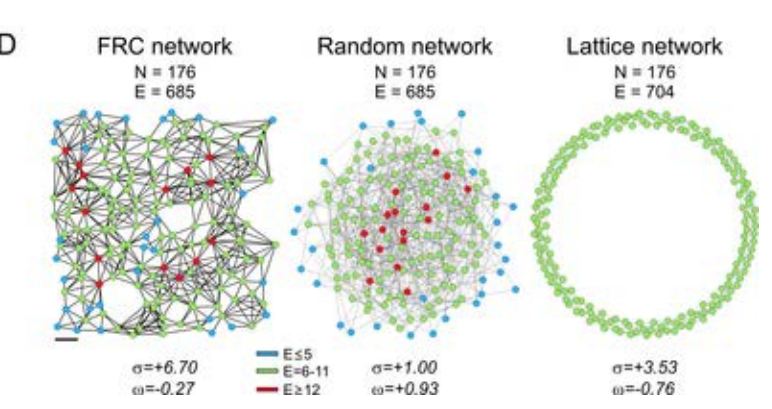
- + Индивидуализация клеток.
- + Известно точное положение каждой клетки.
- + Размеры и форма клетки представлены статистическим образом (если разрешена фрагментация) или известны точно (если диссоциация на сайты запрещена).
- + Модель способна описывать движение, рост, деление и гибель клеток (без гамильтониана).
- + Модель легко справляется с высокой плотностью клеток, более того, ориентирована на такие ткани.
- + CPM предоставляет собой гибкую методику моделирования, задействованную многими авторами, использующими и расширяющими этот подход.
- + Плотная связь со встроенными PDE-решателями в ражках одной программы.

#### Недостатки

- ∘ Крупномасштабное моделирование затруднено: можно моделировать не более 10<sup>6</sup> клеток.
- Анализ чувствительности затруднён из-за длительности вычислений, а также из-за того, что некоторые параметры не могут быть напрямую связаны с физически известными величинами.
- $\circ$  Физика представлена не полностью (есть механика, адгезия), но могут возникать частично нефизические связи миграции и других физических свойств. Например, несжимаемые клетки ( $\lambda_{\rm V} = \infty$ ) не перемещаются в стандартной СРМ).
- Задача на решётке ⇒ меньшая шкала длины.
- Все динамические процессы (миграция, **деление**, **смерть**, расталкивание) являются случайными процессами скачкообразного типа.
- **Д**инамика в системе является дискретизацией метода Монте-Карло, что может привести к неестественным искажениям шкалы времени.
- Снимать статистику гораздо сложнее, чем в случае АВМ.
- Значения параметров имеют не универсальное значение для разных вычислительных сред: необходимость отжига, значения температуры,

#### Ограничения модели





Ретикулярная сеть – не линейный объект, а скорее пространственные коридоры:

[Gretz J, (1997)]

Попытки воспроизведения, как и поиск алгоритма построения реальной сети слишком сложны.

Даже при воспроизведении сети есть риск столкнуться со встающей ещё более острой проблей **нумерации** FRC сайтов.



#### Статья III: каков смысл температуры в СРМ?

VOLUME 75, NUMBER 11

PHYSICAL REVIEW LETTERS

11 SEPTEMBER 1995

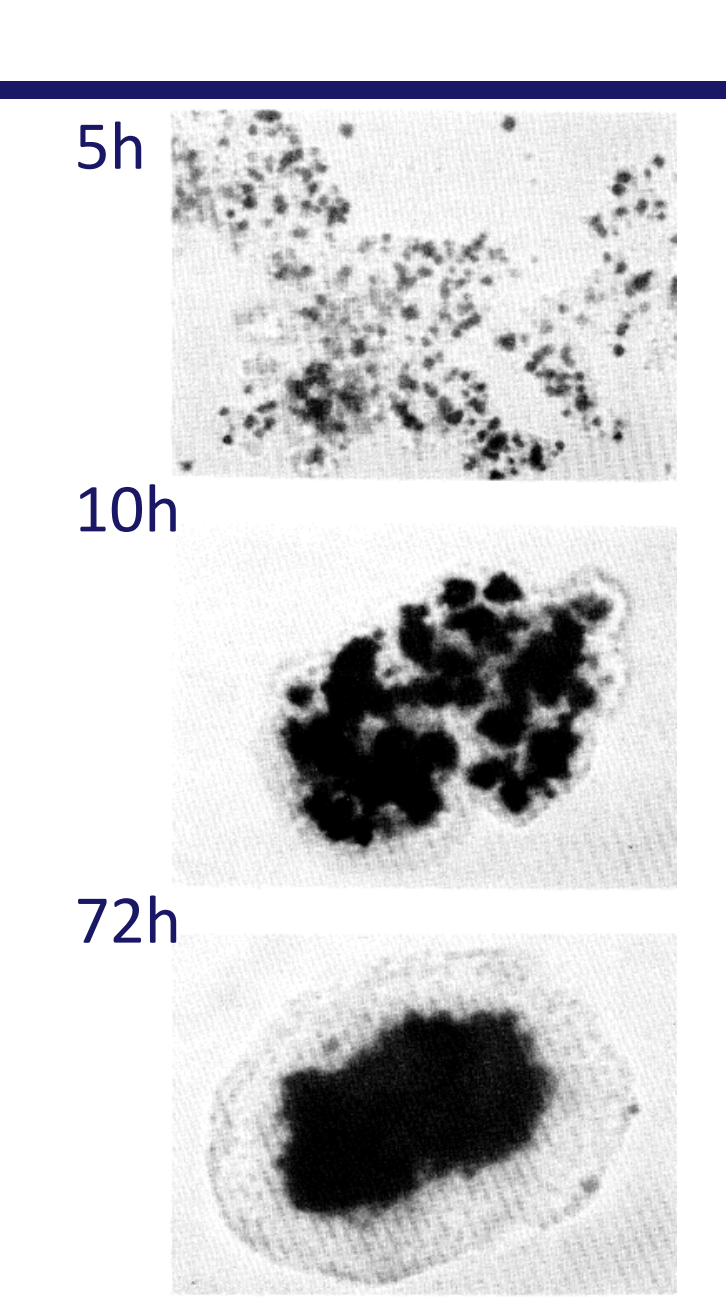
Quantitative Comparison between Differential Adhesion Models and Cell Sorting in the Presence and Absence of Fluctuations

> José C. M. Mombach,\* James A. Glazier, Richard C. Raphael, and Mark Zajac Department of Physics, University of Notre Dame, Notre Dame, Indiana 46556 (Received 20 January 1995)



#### Эксперимент

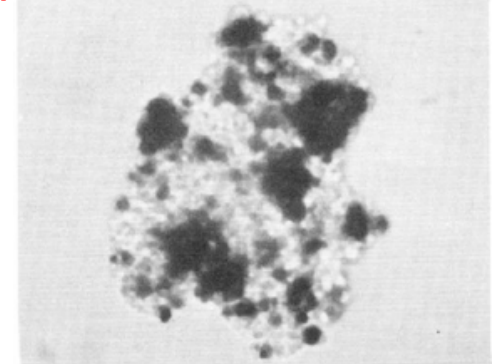
- Статья о сравнении с экспериментом по ингибированию колебания мембран с помощью цитохалазина В, частично или полностью повреждающего сортировку клеток;
- В эксперименте наблюдалась сортировка клеток – нервные клетки сетчатки окружают пигментированные в глазу 10-дневного эмбриона курицы.
- Наблюдаемый размер аггрегатов: 2×10<sup>4</sup> -3×10<sup>5</sup> клеток в естественной ситуации.
- В экспериментах с цитохалазином происходит лишь частичная сортировка клеток, аггрегаты заметно меньше.



Цитохалазин В



83h



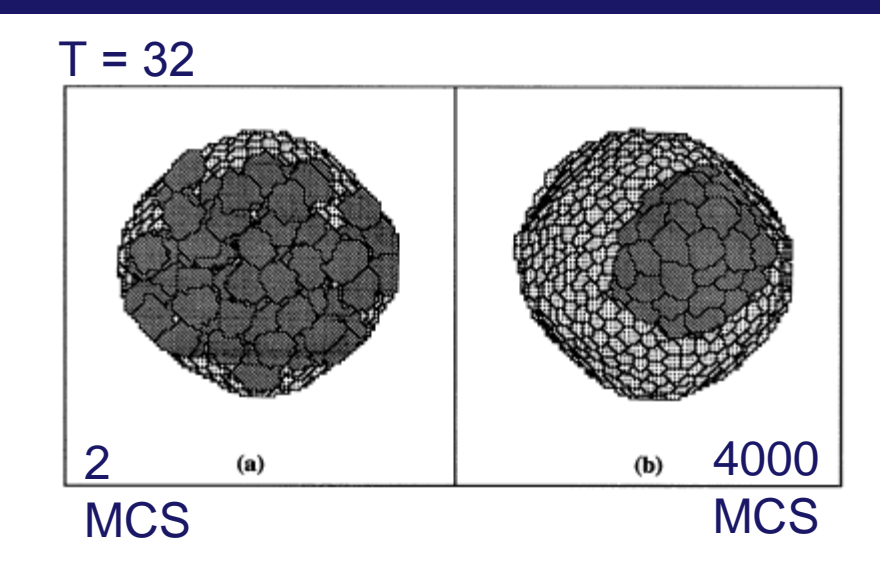


#### Симуляции

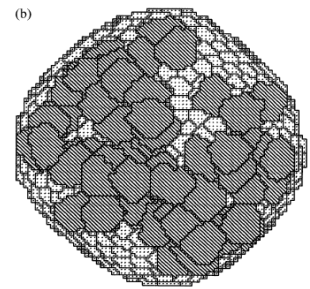
- Симуляции проводились на решётке 100<sup>3</sup> сайтов;
- Поверхностные натяжения взяты из экспериментов:

$$\gamma(I,M) = 4.5, \gamma(d,M) = 7, \gamma(I,d) = 0.5;$$

- Целевые объёмы:  $V_1 = 100$ ,  $V_d = 580$  сайтов;
- Исследуемые температуры: Т = 32, Т = 4.



T = 4



В СРМ колебания клеточных мембран играют роль, аналогичную температуре в обычных материалах, увеличивая подвижность клеток и позволяя им взаимодействовать с соседями. Как следствие, система может преодолевать энергетические барьеры и исследовать энергетическое пространство, чтобы достичь своего глобального минимума.



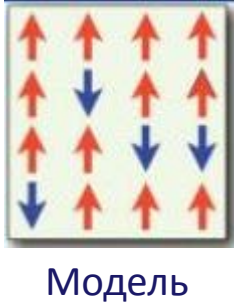
#### Модель Изинга

- Математическая модель статистической физики, предназначенная для описания намагничивания материала.
- Создана на основе образования доменов у ферромагнетиков.
- Простой гамильтониан для спина s(r) в точке r.
- Допущения:
  - только 2 состояния
  - взаимодействуют лишь ближайшие спины
  - каждая пара взаимодействующих спинов учитывается лишь раз.
- lacktriangle Гамильтониан:  $\mathcal{H} = -\sum_i H_i \, s_i \sum_{i,j} J_{ij} s_i s_j$  ,

спин 
$$s_i = \pm 1$$
,

J — энергия взаимодействия: J < 0, если  $s_i = s_j$ , J > 0, если  $s_i = -s_j$ ,

Н – внешнее магнитное поле, гамильтониан уменьшается, если спины выровнены вдоль магнитного поля.



Модель Изинга в 2D

#### Модель Изинга в 1D решается аналитически

- Периодические граничные условия определяются как  $S_{N+1} = S_1$
- Одномерная модель Изинга с периодическими граничными условиями:

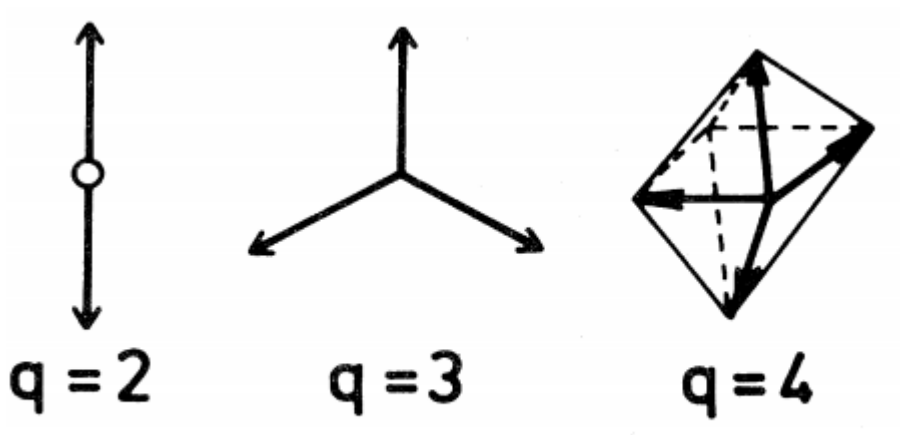


- Определяемая через h = H/k<sub>B</sub>T и K = J/k<sub>B</sub>T статистическая сумма может быть посчитана аналитически:  $Z = Tr \cdot e^{h\sum_{1}^{N} s_{i} + K\sum_{1}^{N} s_{i} s_{i+1}}$
- В отсутствии внешнего поля:  $Z = (2cosh\frac{J}{kT})^N + (2sinh\frac{J}{kT})^N$
- Выражение для свободной энергии:  $F_{\Omega} = k_B T \cdot lnTr \cdot e^{-\frac{\mathcal{H}}{kT}}$



#### Модель Поттса – обобщение модели Изинга

- Модель Поттса состоит из спинов, размещённых на прямоугольной решётке с направлениями углов  $\theta_n = \frac{2\pi n}{a}$ , где q размерность модели.
- Гамильтониан, описывающий взаимодействие спинов, clock model, рассчитывается суммированием по соседним спинам:  $H_c = J_c \sum_{(i,j)} \cos(\theta_i \theta_j)$
- lacktriangle Стандартный гамильтониан Поттса:  $H_P = -J_P \sum_{(i,j)} \deltaig(s_i,s_jig)$



The q unit vectors pointing in the q symmetric directions of a hypertetrahedron in q-1 dimensions.



#### Возможность распараллеливания СРМ

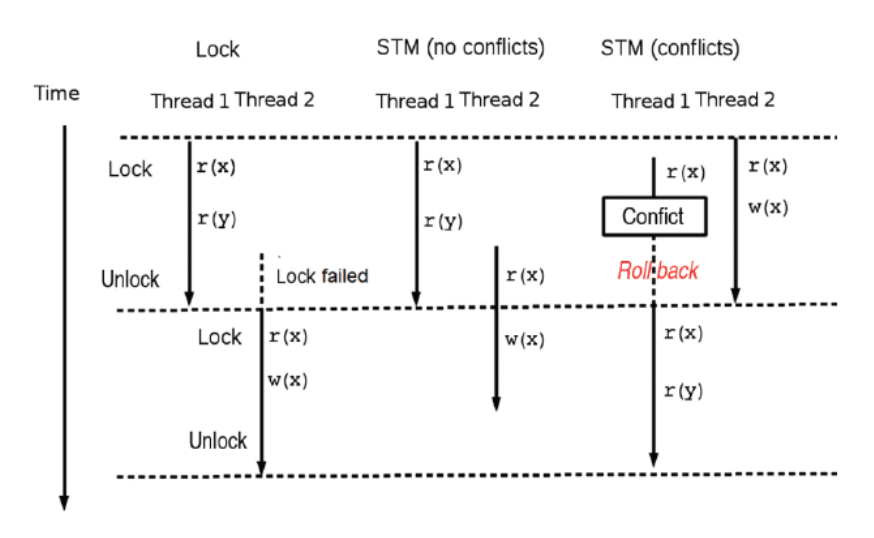
- Основная трудность в распараллеливании СРМ заключается в том, что эффективная энергия нелокальна, а обновление стохастично. Всякий переход клетки из одного вычислительного узла в другой будет требовать передачи параметров между узлами, иначе вычисления будут использовать устаревшие параметры.
- До сих пор внутрипроцессорные вычисления быстрее обмена информацией между процессорами.
- До сих пор для СРМ не реализован полностью оптимизированный алгоритм (стандартный для моделей типа Изинга) "шахматной доски", в котором бы каждому процессору доставалась своя подрешётка, перекрывающаяся с соседними. [Balter & Glazier 2007]
- Распараллеливание CPM не разрушает целостности модели, но позволяет использовать лишь адгезивный член гамильтониана, но не ограничения на площадь или периметр. [Wright et al. 1997]
- Параллельная имплементация СРМ с учётом глобальных ограничений в т.ч. на площадь клеток, алгоритм "шахматной доски" [Chen, N. & Glazier J, 2007]
- Успешная реализация алгоритма "шахматной доски" с помощью видеокарты и >1000 потоков с помощью запирающего механизма, работающего с дублированием перезаписываемых
   сайтов [Таріа, 2011]



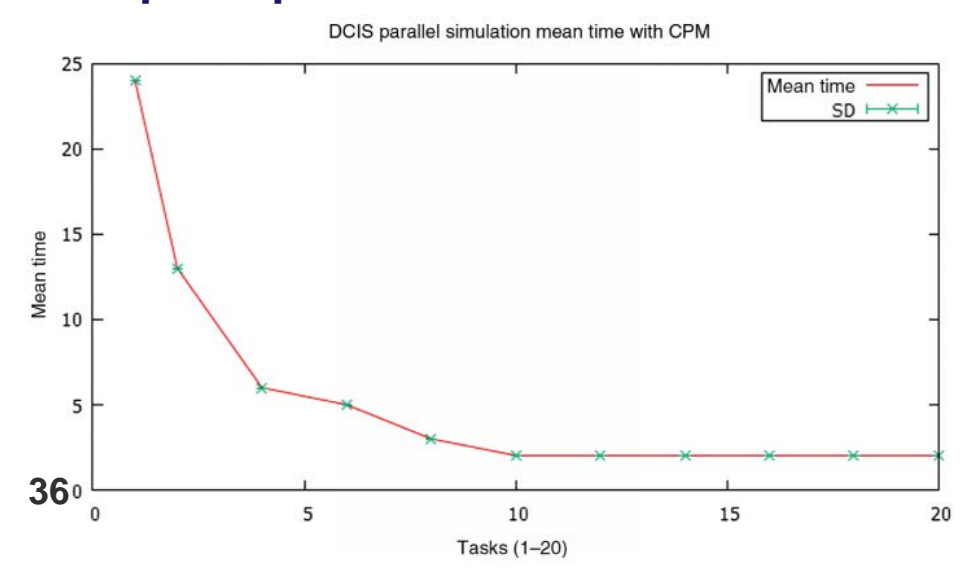
#### Возможность распараллеливания СРМ

В [Tomeu & Salguero 2020] предлагается альтернативный подход к распараллеливанию модели, который использует транзакционную память для поддержания согласованности информации.

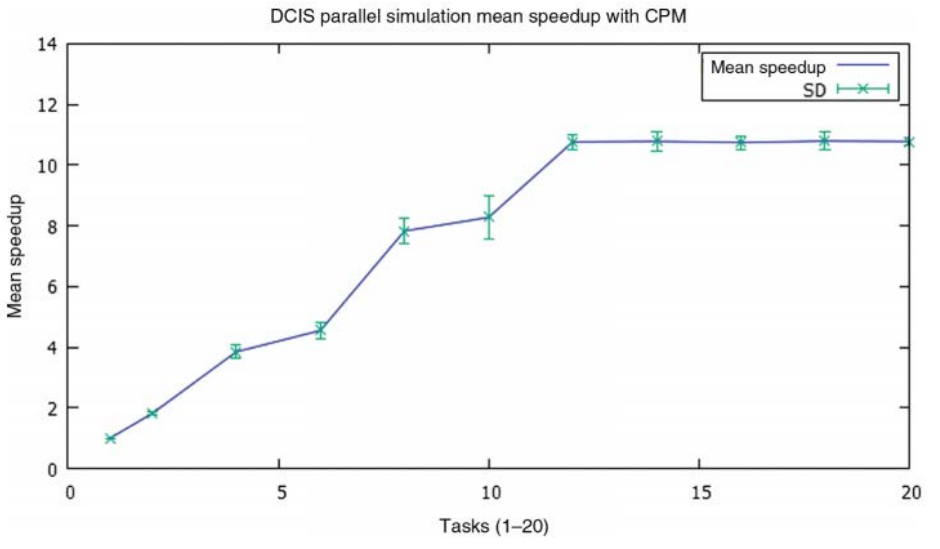
**Software Transactional Memory** 



#### Время расчёта от числа потоков



#### Ускорение расчётов от числа потоков



#### Сравнение методов лицом к лицу

Model type	Spatial resolution	Physics based	Cell shape	Computational efficiency (3D)	Code availability
КА, много клеток на сайт	_	_		++	mostly in-house codes
КА, одна клетка на сайт	О	1	_	+	mostly in-house codes
СРМ	+	+0	+	0 –	++
КА, решёточный газ	_	0-		+	mostly in-house codes
Center Based Models	О	+	О	+0	+
IBCell/Вершинные модели	++	+	+	_	mostly in-house codes

# Можно ли биологическое движение "по рельсам" описать с помощью существующих поправок?

Тип гамильтониана	Формула	Примечание
Адгезия, поверхностная энергия, сохранение целостности	$\sum_{(i,j)(i\prime,j\prime)} J[\tau(\sigma),\tau(\sigma')] \cdot \left(1 - \delta_{\sigma(i,j)\sigma(i\prime,j\prime)}\right)$	
Стремление к целевой площади, сохранение размера	$\lambda_A \cdot \sum_{\sigma} \left[ a(\sigma) - A_{\tau(\sigma)} \right]^2 \cdot \theta \left( A_{\tau(\sigma)} \right)$	
Стремление к целевому периметру, целостность мембраны	$\lambda_P \cdot \sum_{\sigma} [p(\sigma) - P_{\tau(\sigma)}]^2$	
Движение по градиенту	$\lambda_{chem} \cdot (c(x) - c(x'))$	Поправка к $\Delta \mathcal{H}$ от Р. Hogeweg
Образование клетками эпителия удлинённых структур	$\lambda_{Length} \cdot \sum_{\sigma} \bigl[ l(\sigma) - L_{ au(\sigma)} \bigr]^2$	Merks, 2006



## Существующие поправки к гамильтониану (2)

Тип гамильтониана	Формула	Примечание
Гаптотаксис, движение по градиенту ECM в отсутствии диффузии и деградации	$\lambda_{hapt} \cdot (ECM(x) - ECM(x'))$	Поправка к $\Delta \mathcal{H}$ Prokopiou, S. (2013)
Гаптокинезис, преимущественные протрузии в направлении средних значений ECM	$-\eta\delta(\sigma_{x,0})\left(-1+\frac{1}{\rho\sqrt{2\pi}}e^{-\frac{(ECM(x')-\mu)^2}{2\rho^2}}\right)$	Поправка к $\Delta \mathcal{H}$ Daub & Merks 2013
Притяжение клеток к удлинённым структурам	$\lambda \left(1 - \delta(x, 0) - \left(1 - \delta(x', 0)\right)\right)$ $\times \sum_{\sigma(y) \neq \sigma(x), \sigma(y) \neq \sigma(x')} \theta(\sigma(y))$	Поправка к $\Delta \mathcal{H}$ от Boas, S. E et al. 2018
Персистивное, направленное движение, инерция	$\sum_{\sigma} \lambda_{inertia}(\sigma) \cdot \left\  \overrightarrow{vel(\sigma,t)} - \overrightarrow{vel(\sigma,t-\Delta t)} \right\ ^{2}$	Поправка к $\Delta \mathcal{H}$ от Balter 2007
Направленное движение амебоидного или "керацитового" типа	$\frac{\lambda_{Act}}{Max_{Act}}(GM_{Act}(u) - GM_{Act}(v))$	Поправка к $\Delta \mathcal{H}$ от I. Niculescu 2015



#### Выводы

- □ Были предложены: поправка к гамильтониану и вычислительно лёгкий феноменологический алгоритм, эффективным образом воспроизводящий движение клеток иммунной системы по фибронектиновым волокнам.
   □ Модель была имплементирована в СРМ подход так, что её можно использовать в расчётах с большим числом клеток.
   □ СРМ подход был впервые реализован в рамках NetLogo.
  - > Пространственный градиент хемокинов не подходит для решения задачи
  - Линейно распределяемая переменная не решает задачу в рамках СРМ
  - > Продукции хемокинов волокнами FRC и их диффузии недостаточно для решения задачи
  - Не найден универсальный алгоритм нумерации пикселей ретикулярной сети

